

## تصميم معفرة ترددية لأشجار نخيل التمر

اسعد رحمن الحلفي

قسم المكننة الزراعية - كلية الزراعة - جامعة البصرة

بصرة - العراق

الإرسال 2005/3/8، القبول 2005/5/25

### الخلاصة

تم تصميم وتصنيع واختبار معفرة لأشجار نخيل التمر، تتكون من اعمدة مختلفة الاقطار ينزلق بعضها ببعض الاخر ومحرك كهربائي يعمل بفولتية مقدارها (3) فولت وخزان وصفيحة متحركة ومنقبة تقع بين صفيحتين علوية وسفلية وصندوق سرع مصنوع من البلاستيك. صمم برنامج حاسوبي لدراسة اداء المعفرة. اظهرت النتائج ان سرعة الصفيحة المتحركة (m/s) والقدرة المجهزة والخارجة (W) والتصريف والكفاءة النظرية والعملية انخفضت معنويا مع زيادة زمن التشغيل. وان اقصى زمن للتشغيل هو (6) ساعة، كما ان التصريف النظري والعملية يزداد مع زيادة سرعة الصفيحة المتحركة.

Key words: date palm trees, Duster

### المقدمة

تعد عملية تعفير اشجار نخيل التمر من العمليات المهمة التي تؤثر بشكل كبير على نوعية المحصول وتسويقه. يكون التعفير على نوعين هما التعفير اليدوي حيث يوضع المسحوق في كيس من القماش ويربط على عصا ويضرب الكيس على العذوق وينتشر المسحوق. اما الطريقة الاخرى فهي التعفير الميكانيكي وفيها تستخدم المعفرات التي تقوم بتوزيع مسحوق التعفير توزيعا منتظما عن طريق تيار من الهواء لحمل ودفع المسحوق الى المكان المراد تعفيره [1]. توجد انواع عديدة من العفارات مثل العفارات اليدوية التي تحتوي على مكبس هوائي، والعفارات الظهرية ذات المنفاخ، وهذان النوعان من العفارات يكون دفع الهواء فيهما غير منتظم [2]، اما النوع الثالث من العفارات فهو العفارات الصدرية ذات المروحة وتدار بواسطة مرفق يدوي [3]، كما توجد عفارات كبيرة الحجم تربط مع الساحبات وتأخذ حركتها من عمود الادارة الخلفي وهي اساسا غير مصممة لتعفير النخيل لصعوبة دخول الساحبات في بعض البساتين بسبب كثرة المعوقات الطبيعية كالانهار والسود. ان المعفرات بانواعها غير مستخدمة في قطرنا لأسباب عديدة منها صعوبة الاستخدام اوعدم تجربتها وانتشارها ونقل وزنها مما يصعب على الفلاح رفعها معه الى اعلى النخلة وصعوبة السيطرة عليها هنالك. قام ابراهيم والحلفي [4] بتصميم وتصنيع واختبار آلة تلقيح وتعفير لأشجار النخيل حيث وجد ان التصريف والانتاجية والسرعة الدورانية والمسافة التي يندفع بها المسحوق بعيدا عن الآلة انخفضت معنويا مع زيادة زمن التشغيل كما ان معدل انتاجيتها وتصريفها وصل الى 16.06 (نخلة/اسا)، 18.04 (kg/hr) على التوالي. وصمم الحلفي وابراهيم [5] آلة تعفير وتلقيح كهربائية لأشجار النخيل تتميز بصغر حجمها وسهولة عملها واستخدامها وتعمل بفعل قوة الطرد المركزي. كما قام ابراهيم والحلفي [6] بتطوير آلة تعفير وتلقيح اشجار النخيل من خلال اضافة زعانف منحنية الى مروحتها واستخدمتها اليها اعمدة تلسكوبية متعددة ومحركا ذا فولتية اعلى وبطارية سائلة صغيرة، ووجدا ان زمن التشغيل ازداد بمقدار 120% ووصلت الانتاجية الى 24 (نخلة/اسا) عند زاوية للزوائد مقدارها 90 درجة. يهدف البحث الحالي الى تصميم معفرة لأشجار نخيل التمر سهلة الاستخدام وسريعة، وتقوم بعملية التعفير من دون الصعود الى اعلى النخلة، واستنتاج معادلات تتعلق باداء المعفرة وحساب ابعادها التصميمية اللازمة باستخدام برنامج حاسوبي صمم لهذا الغرض.

## قائمة الرموز

الرمز	المعنى	الوحدات
$n_a$	عدد دورات العجلة القائدة	rpm
$n_b$	عدد دورات العجلة المقادة	rpm
$i_1$	نسبة نقل الحركة بين العجلتين A,B	
$D_a$	قطر العجلة القائدة	cm
$D_b$	قطر العجلة المقادة	cm
$n_c$	عدد دورات المسنن C	rpm
$n_e$	عدد دورات المسنن E	rpm
$T_c$	عدد اسنان المسنن C	
$T_d$	عدد اسنان المسنن D	
$n_f$	عدد دورات العجلة F	rpm
$T_e$	عدد اسنان المسنن E	
$T_f$	عدد اسنان المسنن F	
$i_1$	نسبة التشبيك الكلية	
$i_2$	نسبة التشبيك بين المسننين C,D	
$i_3$	نسبة التشبيك بين المسننين E,F	
$X_{th}$	المسافة التي تقطعها الصفيحة المتحركة P	cm
$r$	المسافة من مركز التنوير الى المفصل	cm
$l$	طول ذراع التوصيل	cm
$\theta_1$	الزاوية المحصورة بين خط الافق و $r$	deg.
$\phi$	الزاوية المحصورة بين خط الافق و $l$	deg.
$\omega$	السرعة الزاوية	rad/s
$N_1$	القدرة المجهزة	W

الرمز	المعنى	الوحدات
$V_{th}$	سرعة الصفحة المتحركة	m/s
$N_{2th}$	القدرة الخارجة النظرية	W
I	التيار	A
V	الفولتية	V
$P_o$	القوة المؤثرة	N
$\eta_{th}$	الكفاءة النظرية	%
$\phi_1$	الزاوية المحصورة بين خط تأثير القوة p والاق	deg.
$\rho$	كثافة المسحوق	Kg/cm <sup>3</sup>
M	كتلة المسحوق	kg
$V_o$	حجم المسحوق في كل ثقب	cm <sup>3</sup>
N	عدد الثقوب	
$V_t$	حجم المسحوق الخارج من الآلة لكل دورة من المعجلة G	cm <sup>3</sup> /revo.
$Q_t$	التصريف	cm <sup>3</sup> / s
Q	التصريف العملي للآلة	cm <sup>3</sup> / s
$V_{ta}$	حجم المسحوق النازل من الآلة	cm <sup>3</sup>
t	الزمن اللازم لنزول المسحوق من الآلة لملء حجم معين	s
$X_o$	المسافة المقطوعة للصفحة	cm
$t_o$	زمن تحريك الصفحة خلال المسافة $X_o$	s
$N_o$	القدرة الخارجة العملية	W
$F_o$	القوة المطلوبة لتحريك الصفحة	N
$V_a$	سرعة الصفحة المتحركة	m/s

**وصف التجربة**

اولا: التصميم الهندسي:

تم تصميم معفلة تعمل بحركة ترددية وتنتثر المسحوق (الكبريت) من خلال عدة ثقوب موجودة فيها ومن اجل دراسة ادائها النظري لا بد من اجراء الحسابات التالية وباعتماد على شكل (1):

1- نسبة نقل الحركة :

وتحسب من العلاقة التالية :

$$i_1 = \frac{n_a}{n_b} \text{-----(1)}$$

حيث:

$n_a$  : عدد دورات العجلة القائدة ( rpm )  
 $n_b$  : عدد دورات العجلة المقادة ( rpm )  
 $i_1$  : نسبة نقل الحركة

كما يمكن حساب السرعة الدورانية للعجلة المقادة من العلاقة التالية :

$$D_a n_a = D_b n_b \text{-----(2)}$$

$$n_b = \frac{D_a n_a}{D_b} \text{-----(3)}$$

حيث:

$D_a$  : قطر العجلة القائدة ( cm )  
 $D_b$  : قطر العجلة المقادة ( cm )

وعليه يمكن ايجاد نسبة نقل الحركة من العلاقة التالية :

$$i_1 = \frac{D_b}{D_a} = \frac{n_a}{n_b} \text{-----(4)}$$

2- سرعة العجلة G ونسبة التعشيق :

يمكن حساب سرعة العجلة G ونسبة التعشيق الكلية كالآتي :

$$\therefore n_c = n_b$$

$$\therefore n_c = \frac{n_a D_a}{D_b} \text{-----(5)}$$

$$n_e = n_d = \frac{n_c T_c}{T_d} \text{-----(6)}$$

$$n_g = n_f = \frac{n_e T_e}{T_f} \text{-----(7)}$$

حيث:

$n_c$  : عدد دورات المسنن C  
 $n_e$  : عدد دورات المسنن E  
 $T_c$  : عدد اسنان المسنن C  
 $T_d$  : عدد اسنان المسنن D  
 $n_f$  : عدد دورات العجلة F  
 $T_e$  : عدد اسنان المسنن E  
 $T_f$  : عدد اسنان المسنن F  
 $n_g$  : عدد دورات العجلة G

عند تعويض المعادلة 5 بالمعادلة 6 وتعويض الناتج بالمعادلة 7 ينتج :

$$n_g = \frac{D_a T_c T_e}{D_b T_d T_f} n_a \text{-----(8)}$$

$$i_1 = \frac{D_a T_c T_e}{D_b T_d T_f} \text{-----(9)}$$

$$i_1 = i_1 i_2 i_3 \text{-----(10)}$$

حيث:

$i_1$  : نسبة التعشيق الكلية  
 $i_1$  : نسبة نقل الحركة بين العجلتين A,B  
 $i_2$  : نسبة التعشيق بين المسننين C,D  
 $i_3$  : نسبة التعشيق بين المسننين E,F  
 3- المسافة التي تقطعها الصفيحة المتحركة :

تحسب المسافة التي تقطعها الصفيحة المتحركة P من شكل (1) وحسب العلاقة التالية :

$$X_{th} = (r + l) - (r \cos \theta_1 + l \cos \phi) \text{-----(11)}$$

حيث:

$X_{th}$  : المسافة التي تقطعها الصفيحة المتحركة P (cm)

$r$  : المسافة من مركز التدوير إلى المفصل (cm)

$l$  : طول ذراع التوصيل (cm)

$\theta_1$  : الزاوية المحصورة بين خط الافق و  $r$

$\phi$  : الزاوية المحصورة بين خط الافق و  $l$

4- سرعة الصفيحة المتحركة :

ولحساب سرعة الصفيحة المتحركة P يمكن استخدام الطريقة العامة التي ذكرها [8] Hannah and Stephens وبالرجوع الى الشكل (1) نجد ان :

$$r \sin \theta_1 = l \sin \phi \text{-----(12)}$$

$$n = \frac{l}{r} \text{-----(13)}$$

$$\sin \phi = \frac{\sin \theta_1}{n} \text{-----(14)}$$

حيث ان  $(1/n)$  صغيرة

$$\cos \phi = \sqrt{1 - \left(\frac{\sin \theta_1}{n}\right)^2} \approx 1 - \frac{\sin^2 \theta_1}{2n^2} \text{-----(15)}$$

$$\therefore X_{th} = r(1 - \cos \theta_1) + l \frac{\sin^2 \theta_1}{2n^2} \text{-----(16)}$$

$$V_{th} = \frac{dX}{dt} = (r \sin \theta_1 + \frac{l \sin 2\theta_1}{2n^2}) \frac{d\theta_1}{dt} \text{-----(17)}$$

$$V_{th} = \omega r (\sin \theta_1 + \frac{\sin 2\theta_1}{2n}) \text{-----(18)}$$

حيث:

$\omega$  : السرعة الزاوية (rad/s)

$V_{th}$  : سرعة الصفيحة (m/s)

5- القدرة المجهزة والخارجة :

تحسب القدرة الخارجة من العلاقة التالية :

$$N_{2th} = V_b p_o \cos \phi_1 \text{-----(19)}$$

وتحسب القدرة المجهزة من العلاقة التالية :

$$N_1 = I * V \text{-----(20)}$$

6- الكفاءة:

وتحسب من خلال قسمة القدرة الخارجة على القدرة المجهزة وكالاتي:

$$\eta_{th} = \frac{N_2}{N_1} * 100 \text{-----(21)}$$

$$\therefore \eta_{th} = \frac{V_{th} p_o \cos \phi_1}{I * V} \text{-----(22)}$$

حيث

$N_1$  : القدرة المجهزة (W)

$N_{2th}$  : القدرة الخارجة (W)

$I$  : التيار (A)

$V$  : الفولتية (V)

$p_o$  : القوة المؤثرة (N)

$\eta_{th}$  : الكفاءة (%)

$\phi_1$  : الزاوية المحصورة بين خط تأثير القوة p والافق (درجة)  
 7-تصريف المعفرة :  
 ويحسب تصريف المعفرة كالاتي:

$$\rho = \frac{M}{V_o} \text{-----(23)}$$

$$V_o = \frac{M}{\rho} \text{-----(24)}$$

$$V_t = \left(\frac{M}{\rho}\right) * N \text{-----(25)}$$

$$Q_{th} = V_t n_g \text{-----(26)}$$

حيث:

$\rho$  : كثافة المسحوق ( $kg/cm^3$ )

M : كتلة المسحوق (kg)

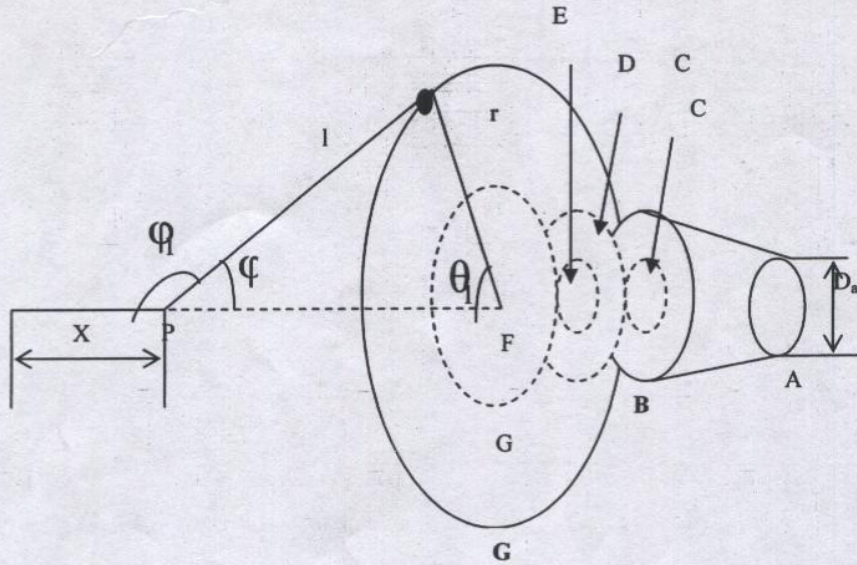
$V_o$  : حجم المسحوق في كل ثقب ( $cm^3$ )

N : عدد الثقوب

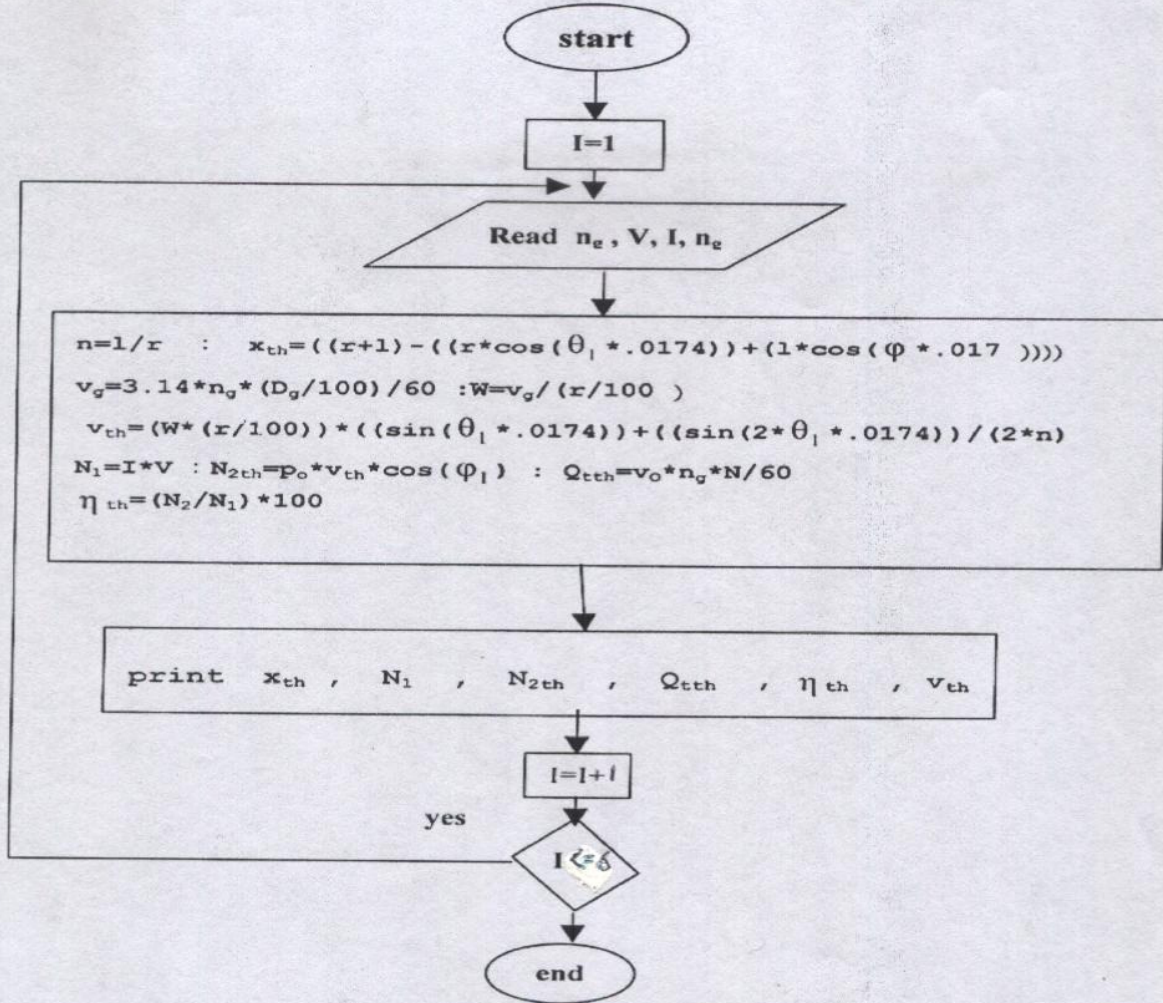
$V_t$  : حجم المسحوق الخارج من الالة لكل دورة من العجلة G ( $cm^3/rev.$ )

$Q_t$  : التصريف ( $cm^3/s$ )

تم تصميم برنامج حاسوبي بلغة quick basic لدراسة اداء المعفرة نظريا وكما في شكل (2) .



شكل(1): التحليل الهندسي للمعفرة



شكل (2): المخطط الاتسيابي للبرنامج

ثانيا: مكونات المعبرة :

تم تصميم معبرة لاشجار النخيل كما في شكل (3) تتكون من الاجزاء التالية :

1- الية نقل الحركة:

تتكون هذه الالية من محرك كهربائي (27) يعمل بفولتية مقدارها 3 فولت ، مثبتة على عمود الدوران فيه البكرة (13) قطرها 0.7 cm تتصل مع بكرة اخرى (19) قطرها 1.7 cm بواسطة حزام ناقل (11) وهي مثبتة على عمود دوران يحتوي على المسنن (18) عدد اسنانه 8 سن معشق مع مسنن اخر (17) ومواز له ، عدد اسنانه 28 سن والآخر مثبت على عمود دوران يحتوي على مسنن اخر عدد اسنانه 12 سن معشق مع مسنن اخر (15) عدد اسنانه 28 سن مثبت على عمود دوران ومثبت على هذا العمود البكرة (14) المثبت عليها مفصل (10) يتصل مع العمود (9) والآخر يتمفصل مع الصفيحة (5) حيث يكسبها الحركة الترددية . ان جميع البكرات والمسنتات ذات الاسنان المستقيمة صنعت من البلاستيك كما ان الحزام الناقل للحركة مصنع من المطاط المرن ومن النوع المستوي .

2- الية نثر المسحوق :

تتكون هذه الالية من خزان (1) مكعب الشكل ابعاده (15\*5\*20 cm) قاعدته السفلى (4) متقبة بنقوب دائرية عددها 30 ثقب وقطر كل ثقب فيها 0.3 cm وعمق 0.2 cm ويوجد اسفلها صفيحة متحركة (5) ابعاده (15\*5 cm) والآخره مثبت فوقها صفيحة رقيقة متقبة يمكنها ان تتحرك الى الامام والخاف فتعمل على تصغير او تكبير الفتحات للصفيحة (5) حيث تتحكم بكمية المسحوق النازل ، كما يوجد اسفل الاخره صفيحة ثابتة (6) لها نفس ابعاد الصفيحة (4) ونفس عدد الثقوب الا انها غير متقابلة مع ثقوب الصفيحة (4) .

3- الية الصعود :

وتتكون من ثلاثة اعمدة تلسكوبية مصنوعة من الالمنيوم (21،22،24) طول العمود الواحد 2.5 m وارتفاع الية المثبتة على العمود المائل 0.5 m .

ثالثا : ميكانيكية العمل :

عند الضغط على مفتاح التشغيل فان التيار الكهربائي سيسري الى المحرك الكهربائي (27) ويقوم بتدوير الية نقل الحركة مما يجعل الصفیحة (5) تتحرك حركة ترددية ، حيث عندما تتحرك الى الامام تتقابل ثقبها مع ثقب الصفیحة (4) وتتغلق ثقب الصفیحة (6) فتتمليء بالمسحوق ثم تتحرك الى الخلف فتغلق ثقب الصفیحة (4) وتتقابل مع ثقب الصفیحة (6) مما يؤدي الى نزول المسحوق منها على العنق .

رابعا: الحسابات :

تم حساب الزمن اللازم لتشغيل الالة (hr) باستخدام ساعة توقيت ، كما حسب تصريف الالة من المعادلة التالية :

$$Q = \frac{V_{ta}}{t} \text{------(27)}$$

حيث:

Q : التصريف العملي للالة (cm<sup>3</sup> / s)

V<sub>ta</sub> : حجم المسحوق النازل من الالة (cm<sup>3</sup>)

t : الزمن اللازم لنزول المسحوق من الالة لملء حجم معين حسب سرعة الصفیحة المتحركة من خلال حساب الزمن اللازم لحركتها مقسوما على طول المسافة التي تقطعها الصفیحة المتحركة وحسب المعادلة التالية :

$$V_a = \frac{X_o}{t_o} \text{------(28)}$$

حيث:

X<sub>o</sub> : المسافة المقطوعة للصفیحة (cm)

t<sub>o</sub> : زمن تحريك الصفیحة خلال المسافة X<sub>o</sub>

كما حسبت المسافة التي تقطعها الصفیحة المتحركة عمليا من خلال قياس البعد بين اقرب وابعد نقطة تقطعها الصفیحة

وحسبت القدرة الخارجة العملية من العلاقة التالية :

$$N_o = F_o V_a \text{------(29)}$$

حيث:

N<sub>o</sub> : القدرة الخارجة ( W )

F<sub>o</sub> : القوة المطلوبة لتحريك الصفیحة (N)

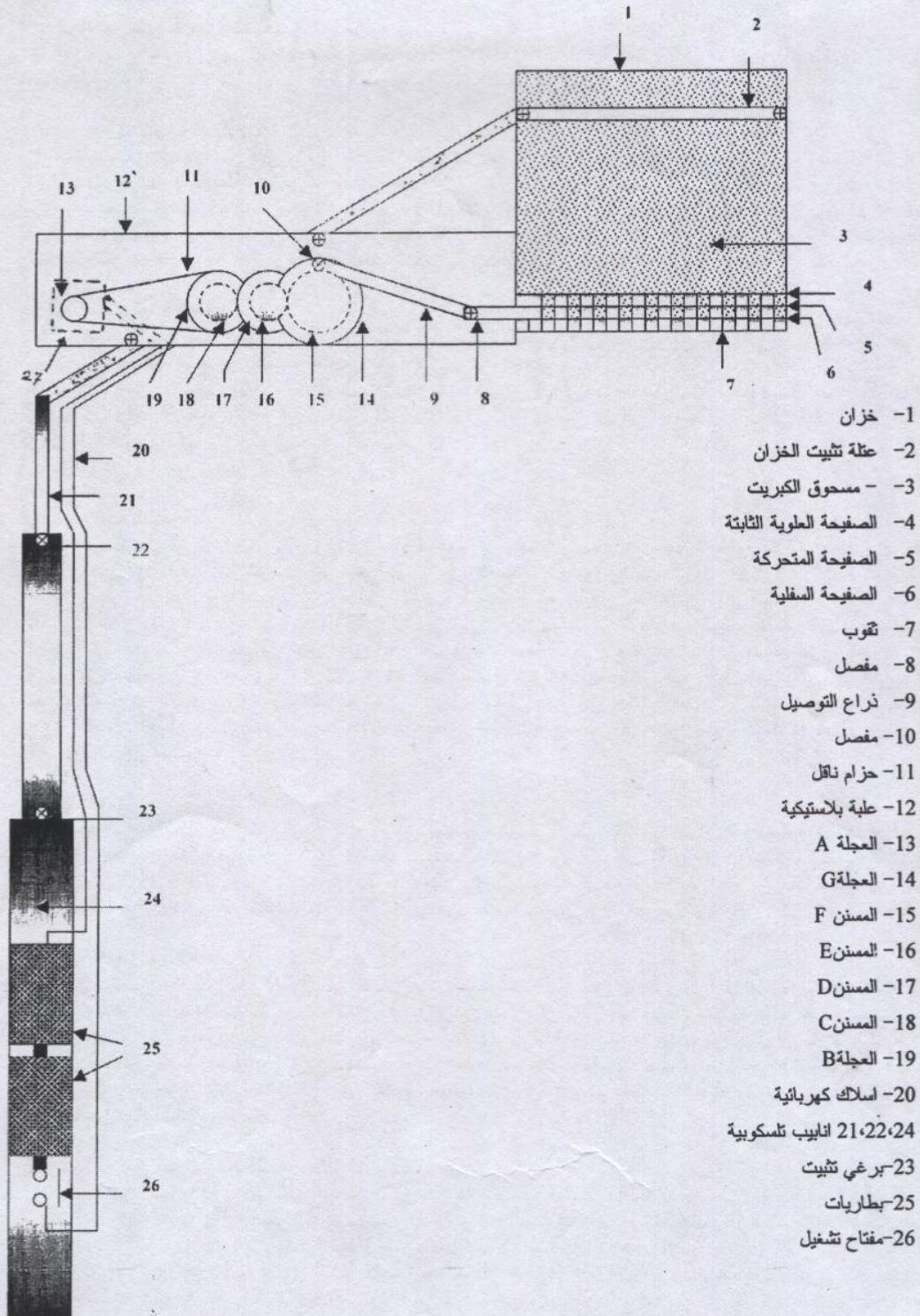
V<sub>a</sub> : سرعة الصفیحة (m/s)

وحسبت الكفاءة العملية من المعادلة التالية :

$$\eta = \frac{F_o V_a}{I * V} \text{------(30)}$$

اجري التحليل الاحصائي لبيانات التجربة بواسطة برنامج (minitab 1996) ، حيث استخدم تصميم القطاعات العشوائية الكاملة لتحليل البيانات.





شكل (3): منظر جانبي للمعقرة .

**النتائج والمناقشة****1- المسافة التي تقطعها الصفيحة المتحركة :**

يوضح الشكل (1) المسافة العملية والنظرية التي تقطعها الصفيحة المتحركة p والتي بلغت (1.20، 1.21 cm) على التوالي . كما نلاحظ ان القيم النظرية والعملية متقاربة جدا .

**2- سرعة الصفيحة المتحركة:**

نلاحظ من الشكل (2) تأثير زمن التشغيل على سرعة الصفيحة المتحركة (m/s) النظرية والعملية . انخفضت سرعة الصفيحة المتحركة معنويا مع زيادة زمن التشغيل ، فعندما كان زمن التشغيل (hr 1،3،6) كانت سرعة الصفيحة المتحركة النظرية والعملية هي (0.167،0.088،0.037) (m/s)، (0.152،0.078،0.029) (m/s) على التوالي، وهذا يعود الى انخفاض كل من الفولتية والتيار للبطارية المجهزة مع الزمن فنقل سرعة المحرك الكهربائي وتخفض سرعة الصفيحة المتحركة تبعاً لذلك . كما نلاحظ ان القيم النظرية أعلى قليلاً من القيم العملية .

**3- القدرة المجهزة والخارجة:**

يوضح الشكل (3) العلاقة بين زمن التشغيل والقدرة المجهزة والخارجة عملياً ونظرياً . انخفضت كل من القدرة المجهزة والخارجة النظرية والعملية معنويا مع زيادة زمن التشغيل . فعندما كان زمن التشغيل (hr 1،3،6) كانت القدرة المجهزة والخارجة النظرية والعملية هي (3،1.58،0.024) (W)، (2.34،0.97،0.0037) (W)، (2.13،0.85،0.00029) (W) على التوالي . وهذا يعود الى نفاذ شحنة البطارية مع الزمن نتيجة استهلاكها من قبل المحرك الكهربائي . وبينت النتائج ان القدرة الخارجة النظرية هي أعلى قليلاً من القدرة الخارجة العملية .

**3- تصريف المعفرة:**

نلاحظ من الشكل (4) ان تصريف المعفرة النظري والعملية ينخفض معنويا مع زيادة زمن التشغيل . فعندما كان زمن التشغيل (hr 1،3،6) كان التصريف النظري والعملية هو (10.15،5.35،2.25) (cm<sup>3</sup>/s)، (9.69،4.98،2) (cm<sup>3</sup>/s) على التوالي . وهذا يعود الى انخفاض القدرة المجهزة مع الزمن مما يؤدي الى انخفاض سرعة الصفيحة المتحركة الذي بدوره يؤدي الى زيادة الزمن اللازم لمليء وتفريغ تقويع الصفيحة المتحركة وتبعاً لذلك ينخفض التصريف . كما بينت النتائج ان الفرق بين القيم النظرية والعملية يقل مع الزمن ، وان اقصى فرق كان في الساعة الاولى من التشغيل وهذا يعود الى زيادة سرعة الصفيحة المتحركة مما يؤدي الى تقليل الفترة الزمنية التي تتقابل فيها فتحات الصفيحة المتحركة مع تلك الموجودة في اعلاها والتي يمر من خلالها مسحوق التعفير ونتيجة لذلك فان التقويع سوف لا تملأ بالكامل عند زيادة السرعة فيقلل من تصريف الآلة العملي الا انه في الحالة النظرية تفترض انها تملأ بالكامل عند أي سرعة .

**4- الكفاءة:**

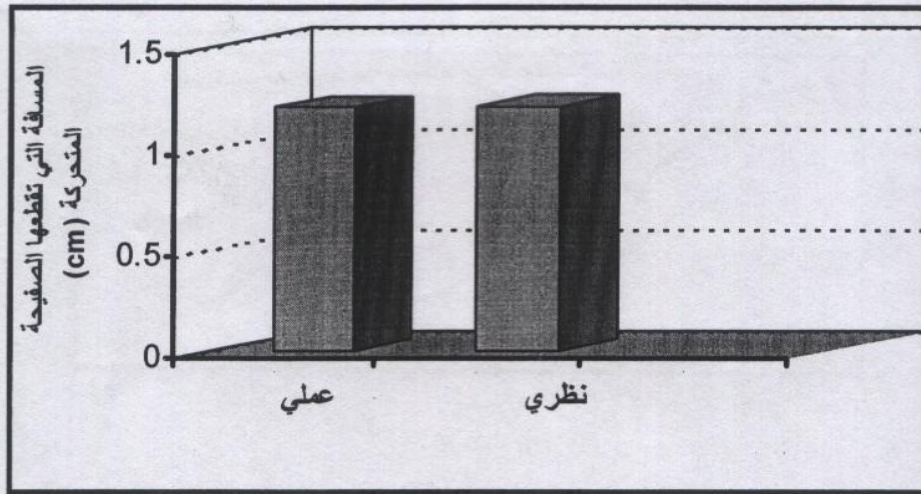
نلاحظ من الشكل (5) الذي يبين تأثير زمن التشغيل للمعفرة على الكفاءة النظرية والعملية (%). انخفضت الكفاءة النظرية والعملية معنويا مع زيادة زمن التشغيل . فعندما كان زمن التشغيل (hr 1،3،6) كانت الكفاءة النظرية والعملية هي (78،61.15،15.28) (% ) ، (71،53،12) (% ) على التوالي . وهذا نتيجة لانخفاض كل من القدرة المجهزة والخارجة مع الزمن ، وانخفاض القدرة الخارجة بشكل اكبر من القدرة المجهزة مع الزمن مما يؤدي الى انخفاض الكفاءة مع الزمن .

**5- من تشغيل الآلة:**

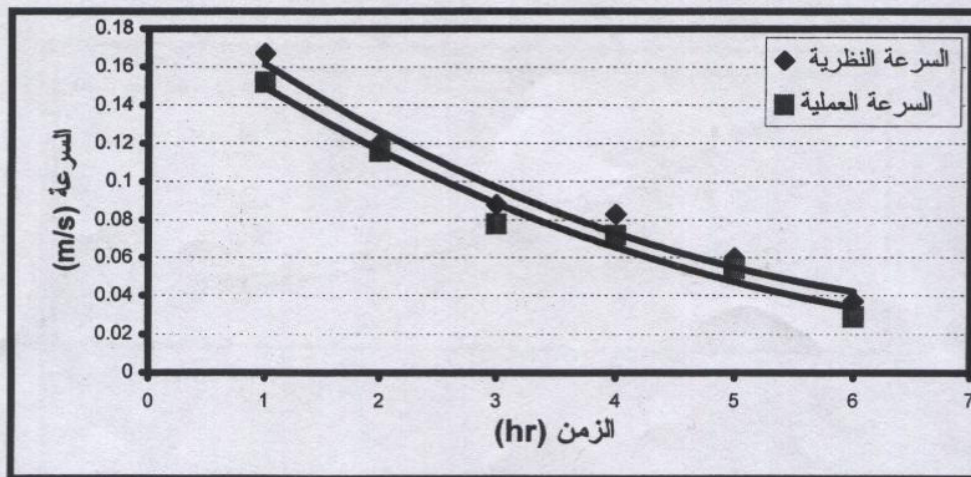
نلاحظ من الاشكال من (2-5) ان اقصى زمن تعمل به الآلة هو 6 hr ولكن بعد مرور خمس ساعات من العمل او اكثر تصبح الكفاءة منخفضة جدا ، الا ان افضل زمن يمكن ان تعمل به الآلة وكفاءة عالية هو اربع ساعات من العمل المستمر . ان معدل زمن تعفير عذوق النخلة الواحدة يتراوح من 3-6 min من عمل المعفرة اي يمكن تعفير 53 نخلة بهذه الآلة عندما تعمل لمدة اربع ساعات حيث بعدها تنخفض كفاءتها . ولبيان صلاحية الآلة للتعفير انها تعمل على توزيع المسحوق بشكل متجانس على عذوق النخيل ويمكن التحكم بالكمية النازلة عليها وضمان وصول المسحوق الى جميع اجزاء العذوق .

**6- العلاقة بين سرعة الصفيحة المتحركة والتصريف:**

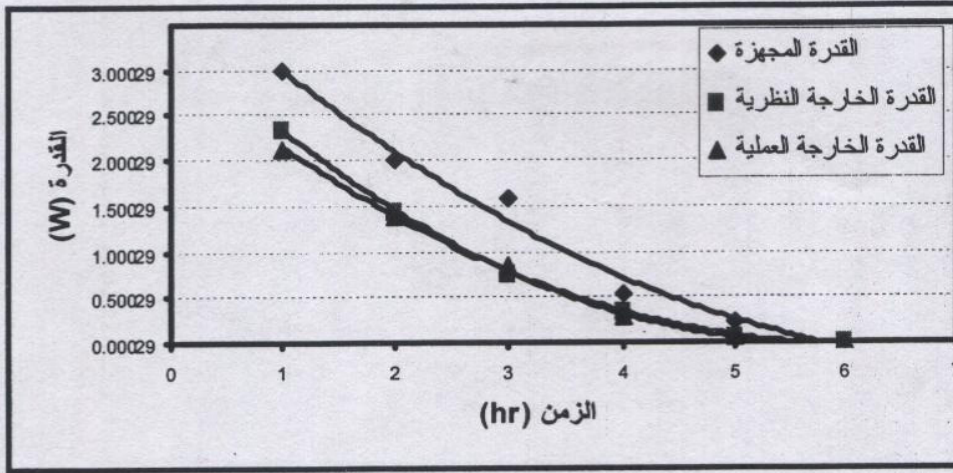
نلاحظ من الشكلين (6،7) اللذين يبينان تأثير سرعة الصفيحة النظرية والعملية على التصريف النظري والعملية . ازاد التصريف النظري والعملية للمعفرة مع زيادة سرعة الصفيحة المتحركة . فعندما زادت سرعة الصفيحة المتحركة النظرية من (0.167-0.037) (m/s) ازاد التصريف النظري من (10.15-2.25) (cm<sup>3</sup>/s) وعند زيادة سرعة الصفيحة العملية من (0.152-0.029) (m/s) ازاد التصريف العملي من (9.69-2) (cm<sup>3</sup>/s) وهذا نتيجة لزيادة عدد المرات اللازمة لمليء وتفريغ تقويع الصفيحة المتحركة في وحدة الزمن .



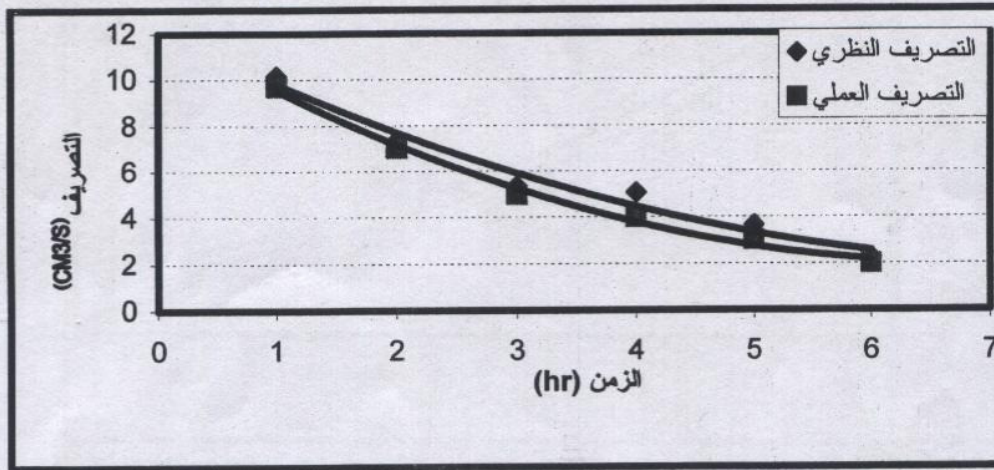
شكل(1):المسافة النظرية والعملية التي تقطعها الصفيحة المتحركة .



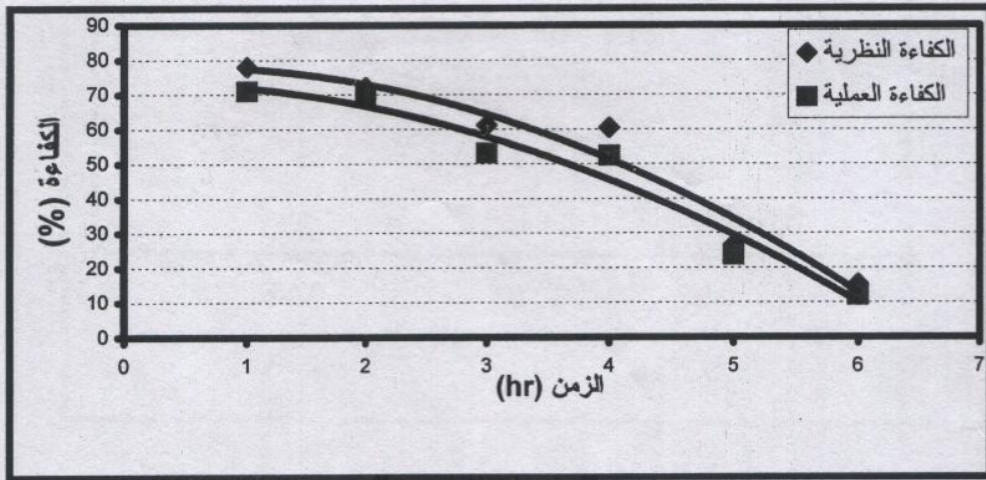
شكل(2):العلاقة بين الزمن وسرعة الصفيحة المتحركة النظرية والعملية .



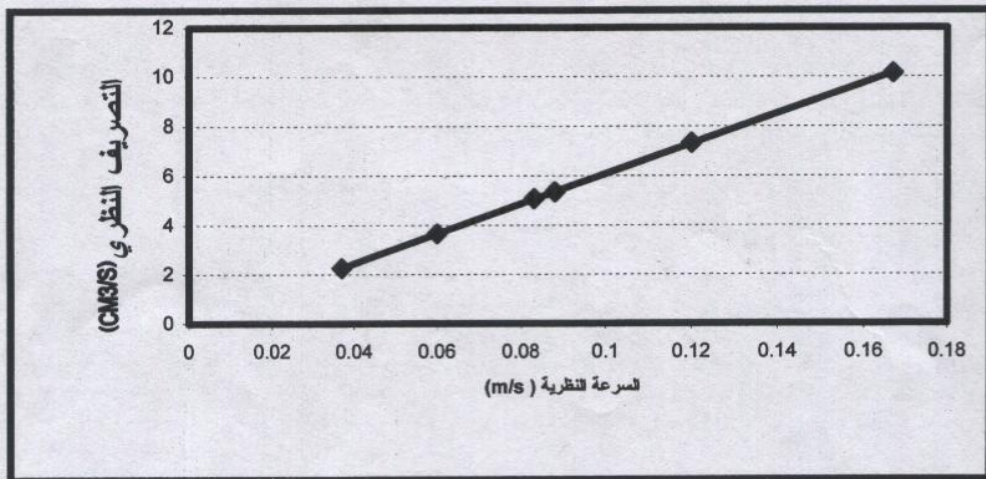
شكل(3):العلاقة بين الزمن والقدرة المجهزة والقدرة الخارجة النظرية والعملية .



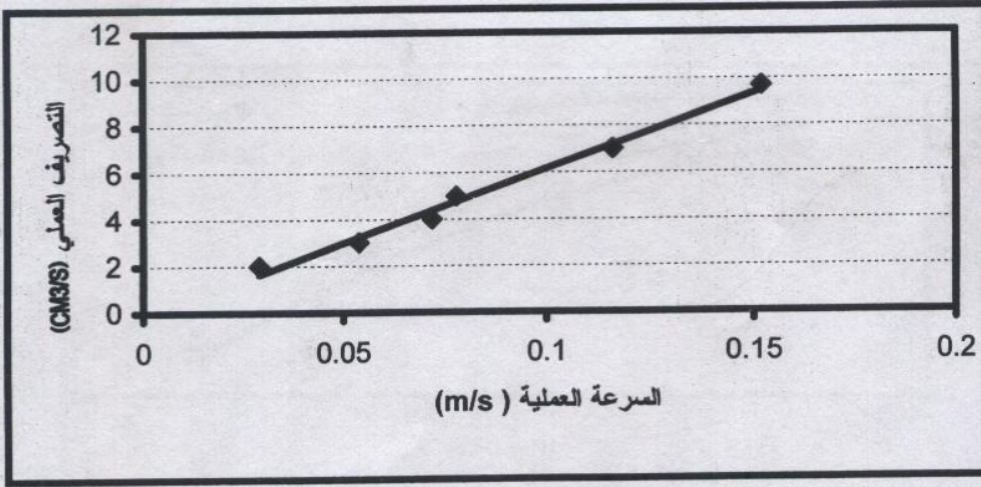
شكل(4):العلاقة بين الزمن والتصريف النظري والعملية .



شكل (5): العلاقة بين الزمن والكفاءة النظرية والعملية .



شكل (6): العلاقة بين سرعة الصفيحة المتحركة النظرية والتصريف النظري .



شكل(7): العلاقة بين سرعة الصفيحة المتحركة العملية والتصريف العملي .

#### الاستنتاجات

- 1- تم تصميم معفرة لأشجار نخيل التمر تقوم بعملية التعفير من دون الصعود الى اعلى النخلة .
- 2- ان كل من سرعة الصفيحة المتحركة والقدرة المجهزة والخارجة والتصريف والكفاءة تقل مع زيادة زمن التشغيل .
- 3- أقصى زمن تعمل به المعفرة هو 6 ساعة ، بينما افضل زمن تعمل به الآلة وكفاءة عالية هو اربع ساعات من العمل المستمر .
- 4- يزداد التصريف مع زيادة سرعة الصفيحة المتحركة.

#### المصادر

- 1- حسين، لطفي وعزت عبد السلام محمود. مكننة المحاصيل الحقلية . مطبعة جامعة بغداد . العراق . (1978).
- 2- الجابري ، ابراهيم عبد الرسول. اسس مكافحة الافات . مطبعة جامعة الموصل . الموصل . العراق . (1987) .
- 3- العوضي، محمد نبيل. هندسة الات الرش وتوزيع المواد الحقلية . مصر (1985) .
- 4- ابراهيم ، عبد الباسط عودة والحلفي ، اسعد رحمن ، مجلة البصرة لابحاث نخلة التمر . العدد، 1 ص 1 (2002).
- 5- الحلفي ، اسعد رحمن و ابراهيم ، عبد الباسط عودة . مجلة البصرة لابحاث نخلة التمر . العدد، 2 ص 18 (2001).
- 6- الحلفي ، اسعد رحمن و ابراهيم ، عبد الباسط عودة. براءة اختراع المرقمة 3045 ، الجهاز المركزي للتقييس والسيطرة النوعية . بغداد . (2002).
- 7- ليفنسون. اسس الميكانيكا التطبيقية . دار مير للطباعة والنشر . موسكو (1978).
- 8- J.Hannah, and ,R.Stephens. Mechanics of Machines , Advanced theory and examples . Butler andTanner Ltd. London. .(1979).

### Design of Reciprocating Duster for Date palm Trees

A.R. AL-Hilphy

Dept. of Mech. Agric. College – Univ. of Basrah

#### Abstract

A duster for date palm trees was designed , manufactured and tested on date palm trees at field . The duster consisted of various radius columns which slipping in each other , small electric motor oprating by two 1.5 volt batteries , vibrating and ported plate , two fixed plate up and down the ported plate, plastic gear box .A computer program was designed to use for performing the study of the duster .The results indicated that the velocity of vibrating and ported plate (m/s) , power supply and out put (W) , discharge (m<sup>3</sup>/s) and the efficiency theoretical and actual were reduced significantly with the increasing of opration time . The maximum time of processing for duster is 6 hr . The theoretical and actual discharge were increased with the speeding up of the velocity of vibrating and ported plate .

**Key words:** Date palm trees , Duster